

## Lista delle Figure

- Fig. 23 - Bocca di Lido. Campo di velocità calcolato per la configurazione 5 assegnando un dislivello mare-laguna di  $\pm 0.2$  m.*
- Fig. 24 - Bocca di Malamocco. Campo di velocità calcolato per la configurazione 4b assegnando un dislivello mare-laguna di  $\pm 0.2$  m.*
- Fig. 25 - Bocca di Chioggia. Campo di velocità calcolato per la configurazione 1 assegnando un dislivello mare-laguna di  $\pm 0.15$  m.*
- Fig. 26- Velocità massima al variare della portata fluente calcolata alla bocca di Lido per le configurazioni esaminate.*
- Fig. 27 - Velocità massima al variare della portata fluente calcolata alla bocca di Malamocco per le configurazioni esaminate.*
- Fig. 28 - Velocità massima al variare della portata fluente calcolata alla bocca di Chioggia per le configurazioni esaminate.*
- Fig. 29 - Tempo di superamento delle velocità massime alla bocca di Chioggia durante il biennio 2000-2001 nella situazione attuale e nei sei scenari esaminati.*
- Fig. 30 - Tempo di superamento delle velocità massime alla bocca di Lido durante il biennio 2000-2001 nella situazione attuale e nei sei scenari esaminati.*
- Fig. 31 - Tempo di superamento delle velocità massime alla bocca di Malamocco durante il biennio 2000-2001 nella situazione attuale e nei sei scenari esaminati.*

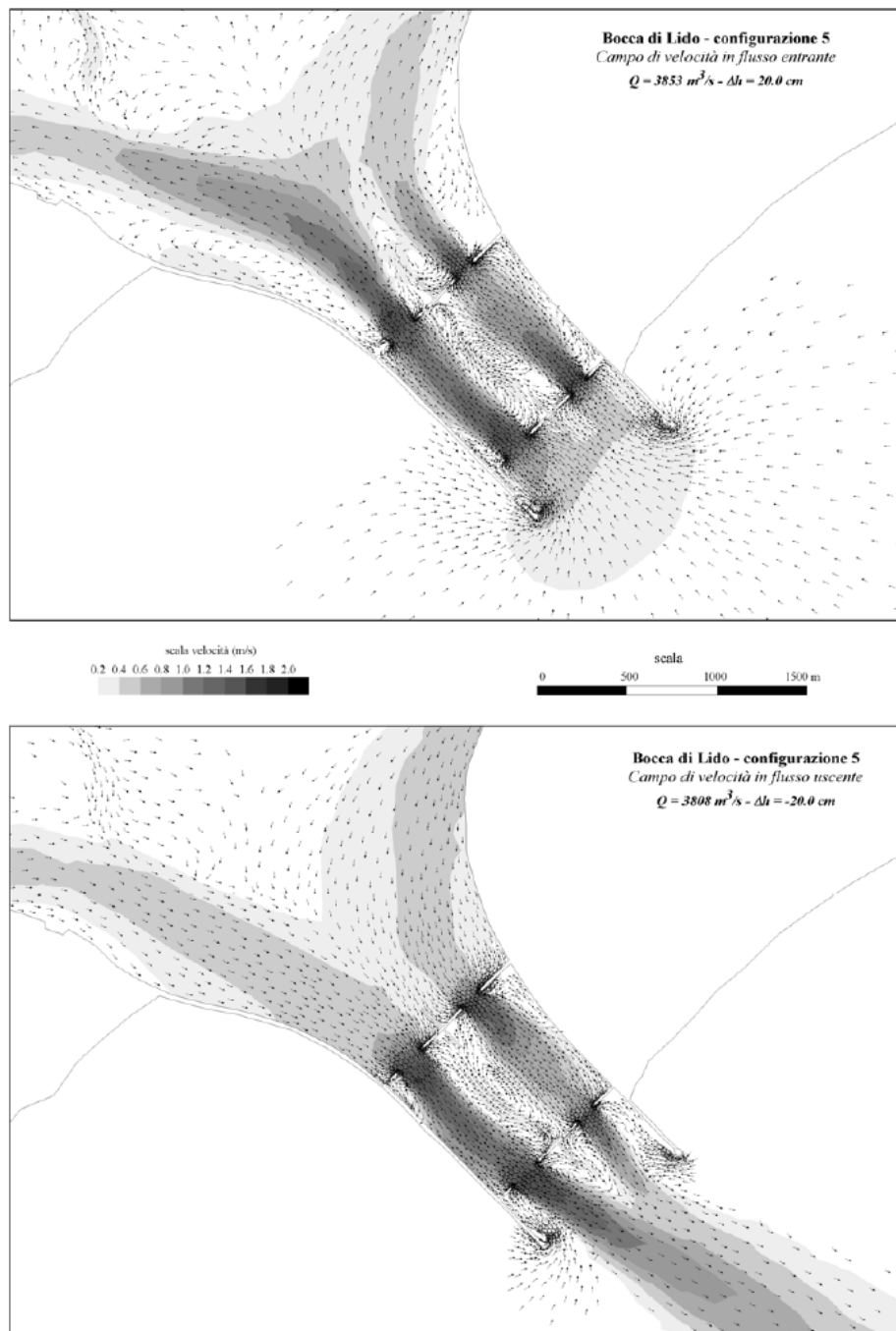


Fig. 23 –Bocca di Lido. Campo di velocità calcolato per la configurazione 5 assegnando un dislivello mare-laguna di  $\pm 0.2$  m.

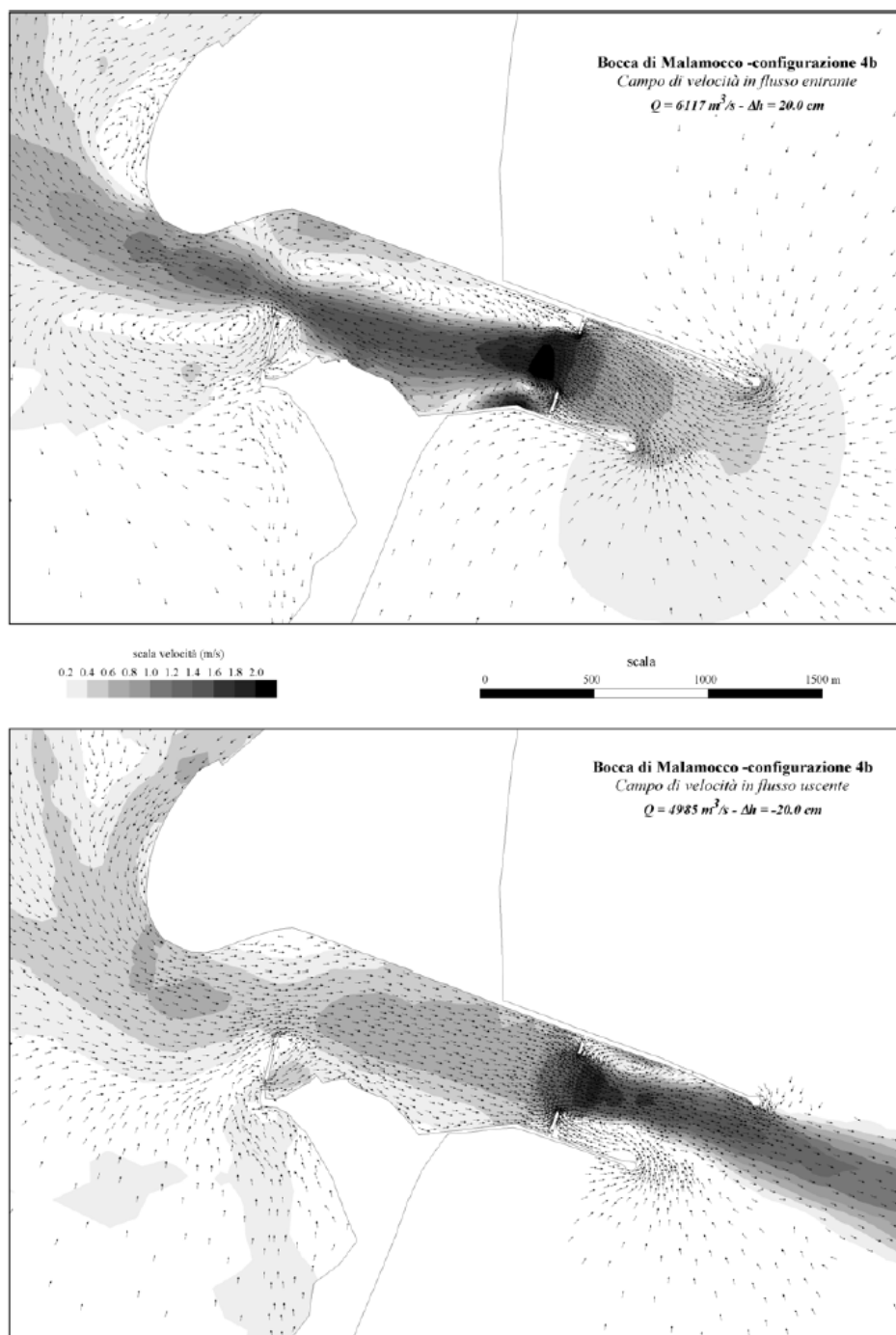


Fig. 24 –Bocca di Malamocco. Campo di velocità calcolato per la configurazione 4b assegnando un dislivello mare-laguna di  $\pm 0.2$  m.

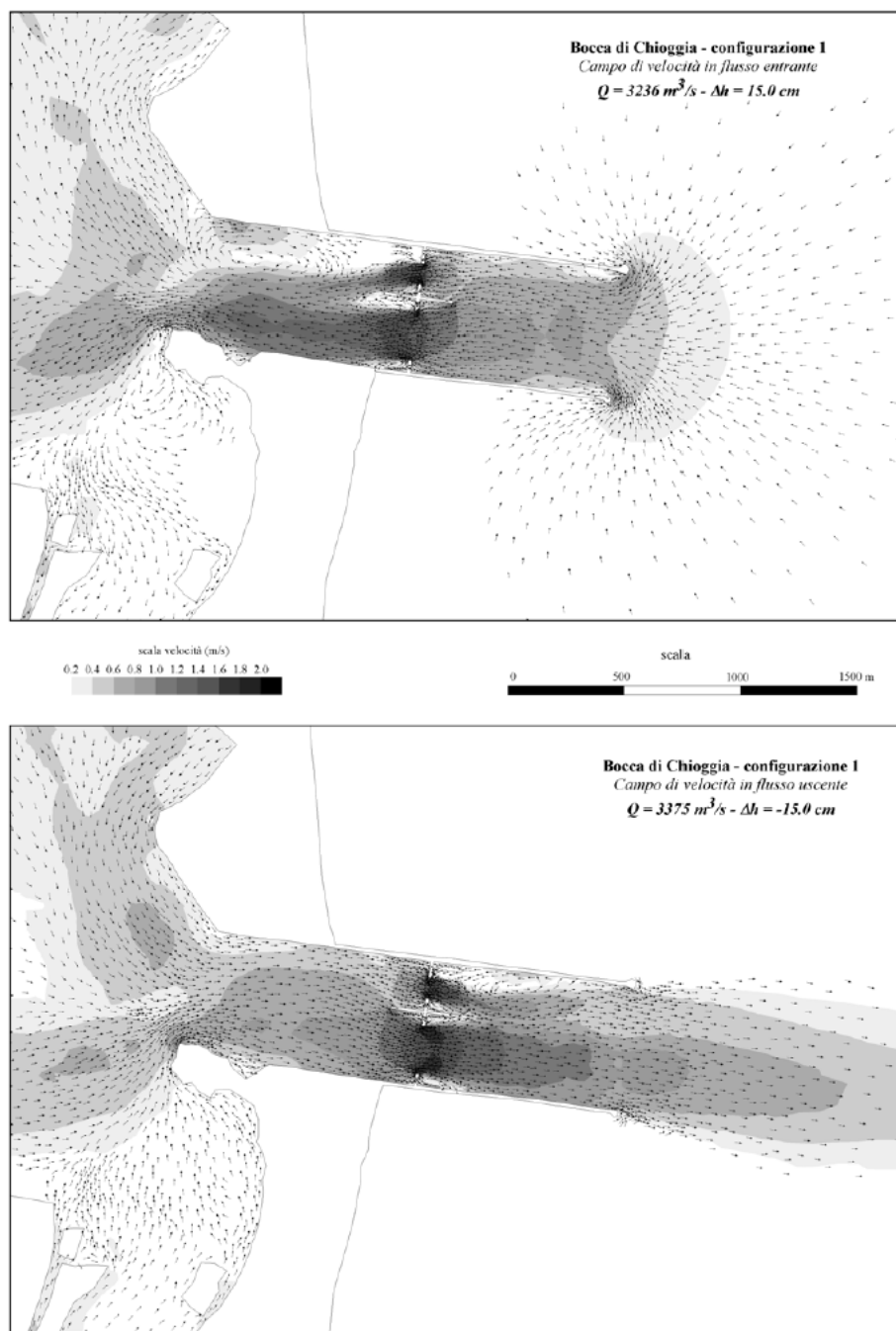


Fig. 25 –Bocca di Chioggia. Campo di velocità calcolato per la configurazione 1 assegnando un dislivello mare-laguna di  $\pm 0.15 \text{ m}$ .

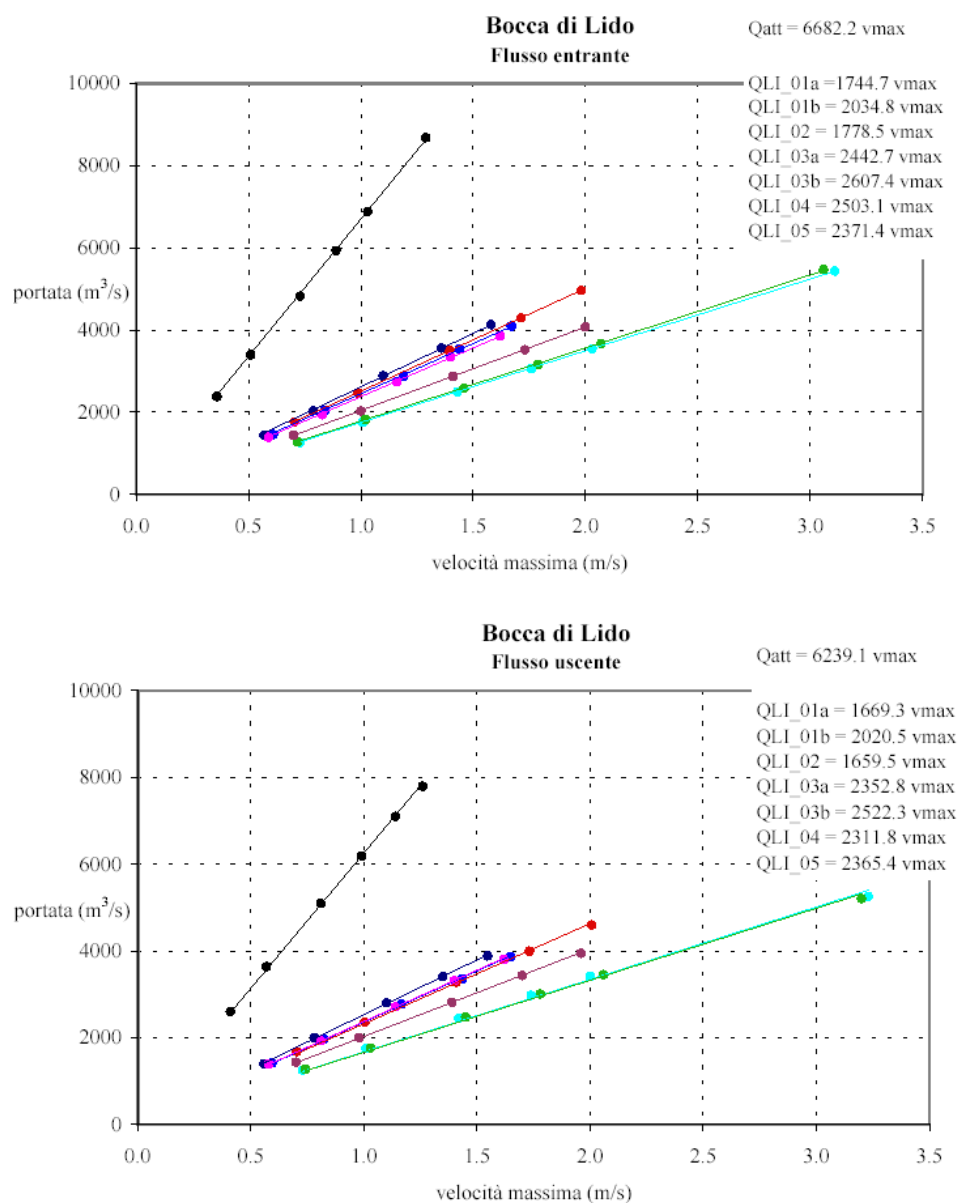


Fig. 26 - Velocità massima al variare della portata fluente calcolata alla bocca di Lido per le configurazioni esaminate.

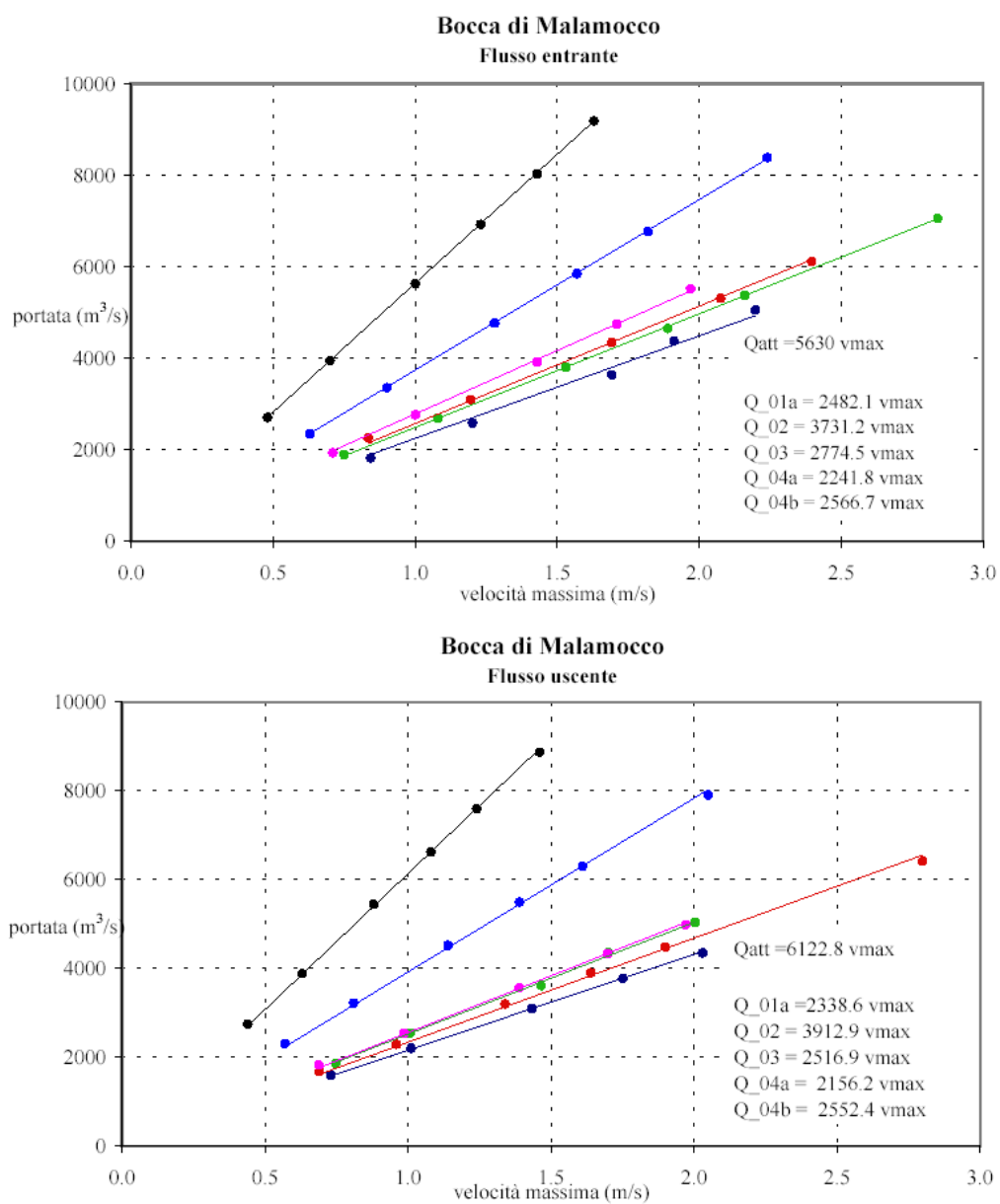


Fig.27 - Velocità massima al variare della portata fluente calcolata alla bocca di Malamocco per le configurazioni esaminate.

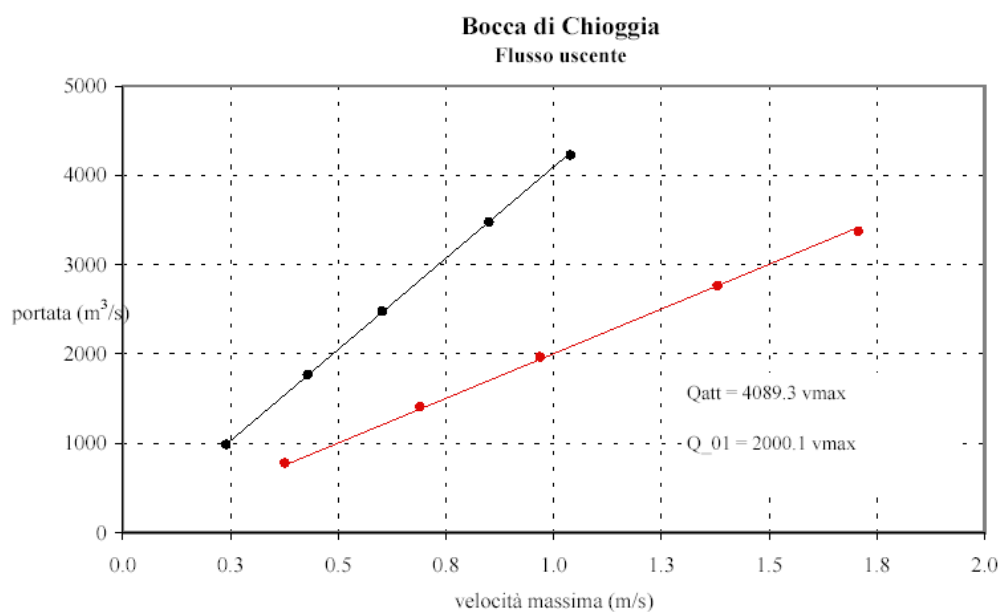
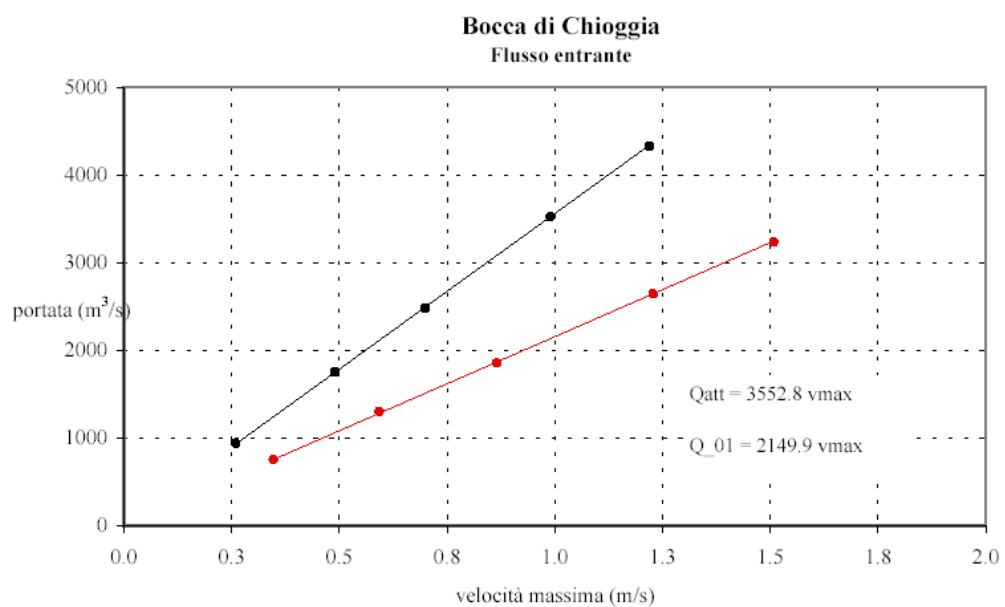


Fig.28 - Velocità massima al variare della portata fluente calcolata alla bocca di Chioggia per le configurazioni esaminate.

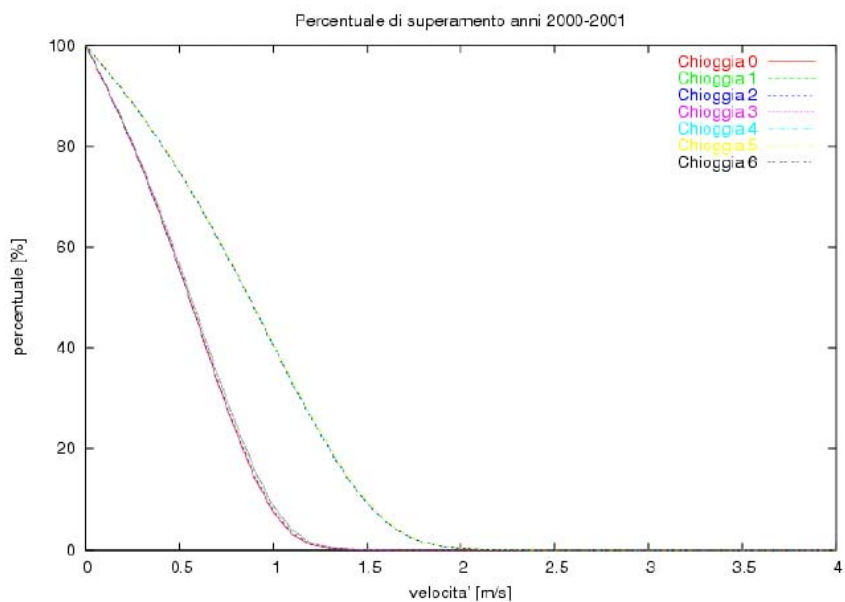


Fig. 29 – Tempo di superamento delle velocità massime alla bocca di Chioggia durante il biennio 2000-2001 nella situazione attuale e nei sei scenari esaminati.

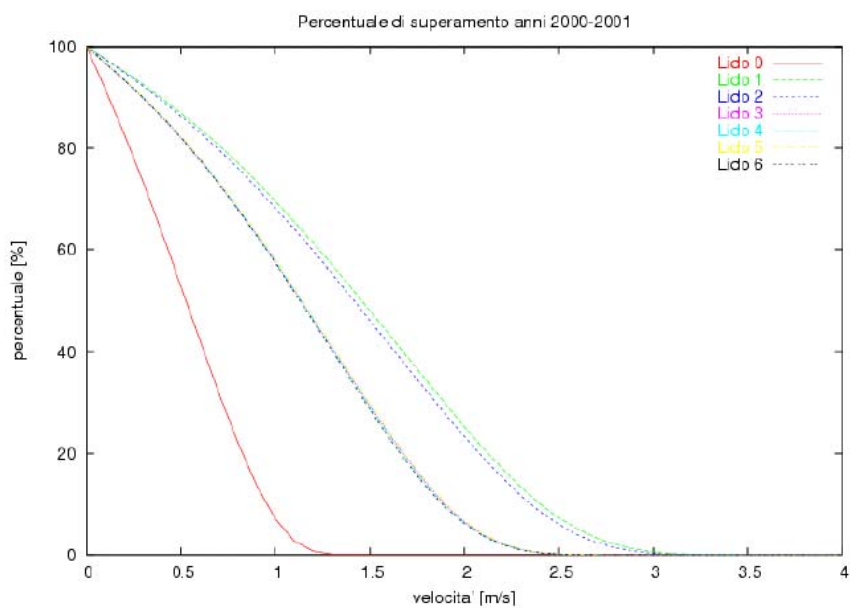


Fig. 30 – Tempo di superamento delle velocità massime alla bocca di Lido durante il biennio 2000-2001 nella situazione attuale e nei sei scenari esaminati.



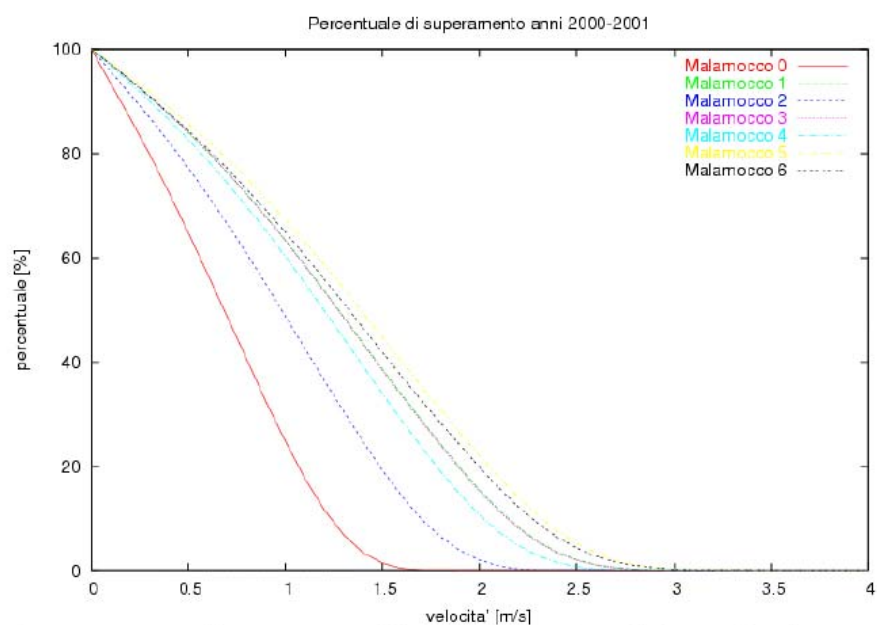


Fig. 31 – Tempo di superamento delle velocità massime alla bocca di Malamocco durante il biennio 2000-2001 nella situazione attuale e nei sei scenari esaminati.